

ФЕДЕРАЛЬНОЕ ГОСУДАРСТВЕННОЕ АВТОНОМНОЕ ОБРАЗОВАТЕЛЬНОЕ  
УЧРЕЖДЕНИЕ ВЫСШЕГО ОБРАЗОВАНИЯ  
МОСКОВСКИЙ ФИЗИКО-ТЕХНИЧЕСКИЙ ИНСТИТУТ  
(НАЦИОНАЛЬНЫЙ ИССЛЕДОВАТЕЛЬСКИЙ УНИВЕРСИТЕТ)  
ФАКУЛЬТЕТ АЭРОКОСМИЧЕСКИХ ТЕХНОЛОГИЙ

---

Лабораторная работа 3.6.1  
**Спектральный анализ электрических  
сигналов**

---

Рогозин Владимир  
Группа Б03-106

**Цель работы:** изучить спектральный состав периодических электрических сигналов.

**Оборудование:** цифровой анализатор спектра, генератор прямоугольных импульсов и сигналов специальной формы, осциллограф.

**Теоретические сведения:** В работе изучается спектральный состав периодических электрических сигналов различной формы: последовательности прямоугольных импульсов, последовательности цугов, амплитудно- и фазо-модулированных гармонических колебаний. Спектры этих сигналов наблюдаются с помощью анализатора спектра и сравниваются с рассчитанными теоретически.

Периодическая функция может быть представлена в виде бесконечного ряда гармонических функций – ряда Фурье.

$$f(t) = \sum_{n=-\infty}^{\infty} c_n e^{in\omega_0 t} \quad \text{или} \quad \sum_{n=0}^{\infty} a_n \cos(n\omega_0 t + \varphi_n).$$

Где  $\omega_0 = 2\pi/T$ ,  $T$  – период функции  $f(t)$ . Коэффициенты  $\{c_n\}$  могут быть найдены по формуле

$$c_n = \frac{1}{T} \int_0^T f(t) e^{-in\omega_0 t} dt.$$

Наборы коэффициентов разложения в комплексной  $\{c_n\}$  и действительной  $\{a_n, \varphi_n\}$  формах связаны соотношением

$$a_n = 2|c_n|, \quad \varphi_n = \arg c_n.$$

**Экспериментальная установка:**

Схема установки приведена на рис. 1.



Рис. 1: Экспериментальная установка

**Обработка данных:**

**А. Исследование спектра периодической последовательности прямоугольных импульсов.**

Найдём спектр периодической последовательности прямоугольных импульсов длительности  $\tau$  с периодом следования импульсов  $T > \tau$  и значением  $A$ .

$$c_n = \frac{1}{T} \int_{-\frac{\tau}{2}}^{\frac{\tau}{2}} A e^{-in\omega_0 t} dt = A \cdot \frac{\sin(\pi n \tau / T)}{\pi n}.$$

График функции  $c(\omega)$  будет выглядеть следующим образом

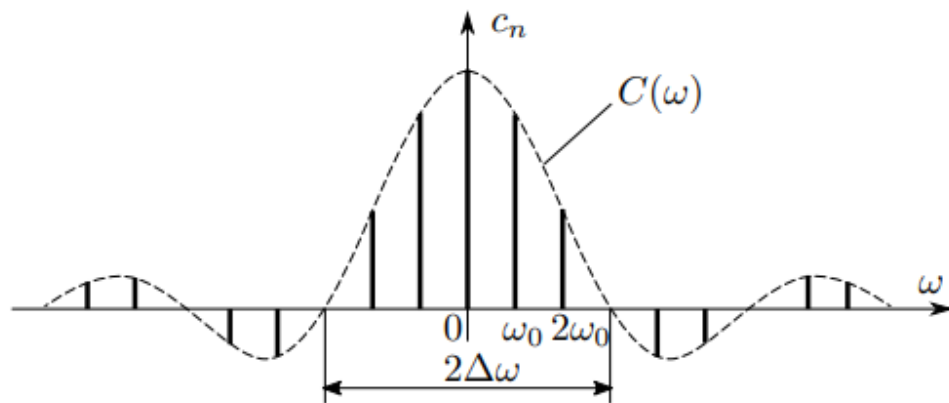
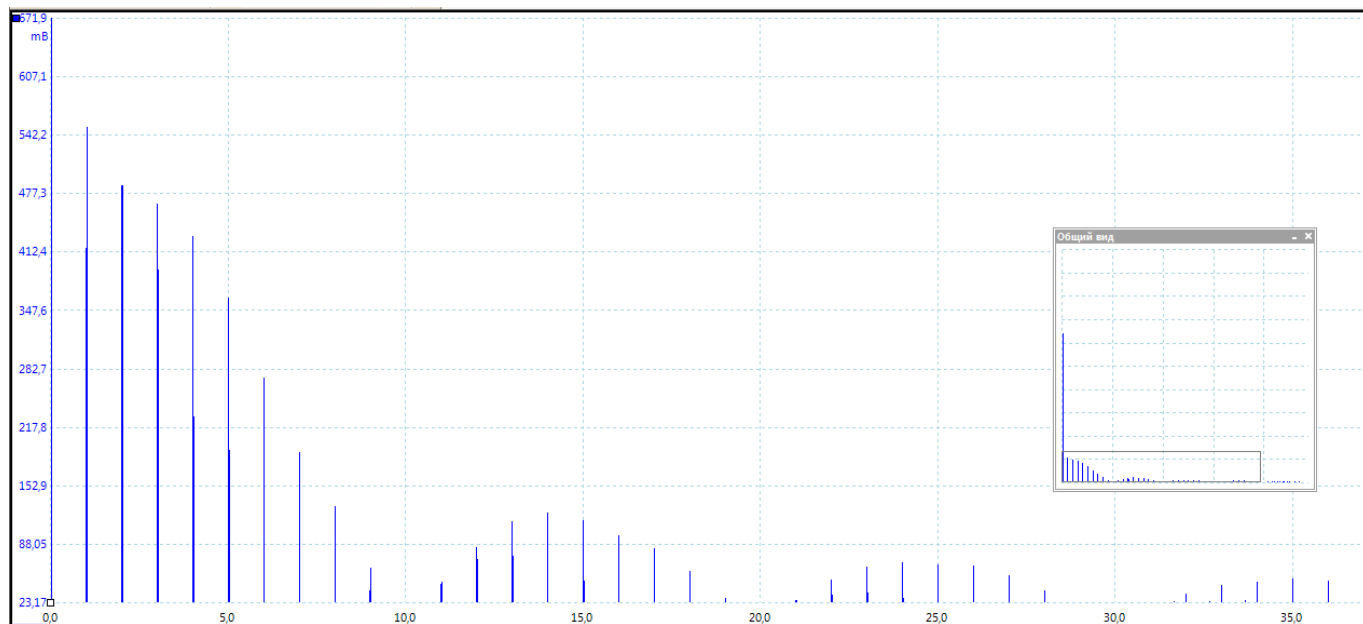


Рис. 2: Спектр периодической последовательности прямоугольных импульсов

где  $\Delta\omega = 2\pi/\tau$ . Основной вклад дают гармоники, частоты которых заполняют интервал  $|\omega| < 2\pi/\tau$ . Этот диапазон частот можно назвать характерной шириной спектра.

Сначала выставим частоту повторения импульсов  $f_{\text{повт}} = 1$  кГц, длительность импульса  $\tau = 100$  мкс. Проанализируем полученный спектр.

Рис. 3: Спектр прямоугольных импульсов  $T = 1$  мс;  $\tau = 100$  мкс

Из картинки видно, что спектр совпадает с теорией, характерная ширина спектра  $\Delta\nu$  равна  $\tau^{-1} = 10$  кГц.

Далее уменьшим в два раза длину импульса и построим на получившийся спектр. По сравнению с предыдущим случаем изменились амплитуды частот, а также увеличилась характерная ширина спектра  $\Delta\nu = 20$  кГц.

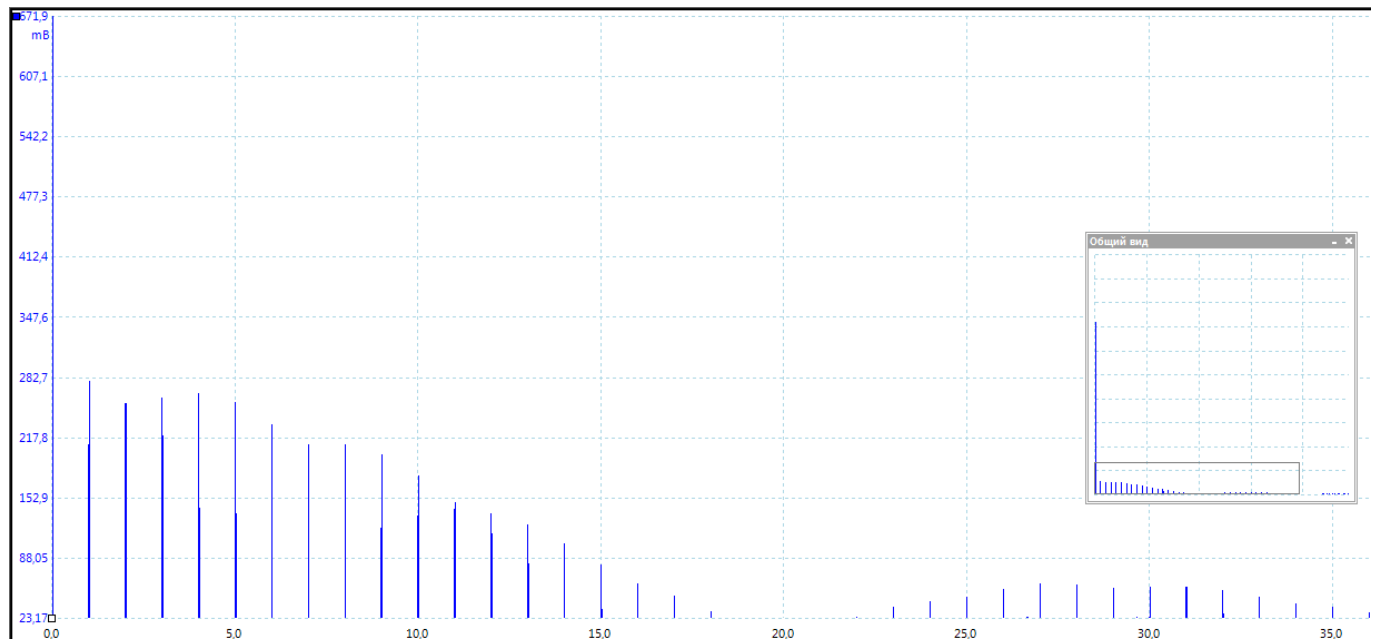


Рис. 4: Спектр прямоугольных импульсов  $T = 1$  мс;  $\tau = 50$  мкс

Теперь изменим частоту сигнала до  $f_{\text{повт}} = 2$  кГц при  $\tau = 50$  мкс, посмотрим на спектр.

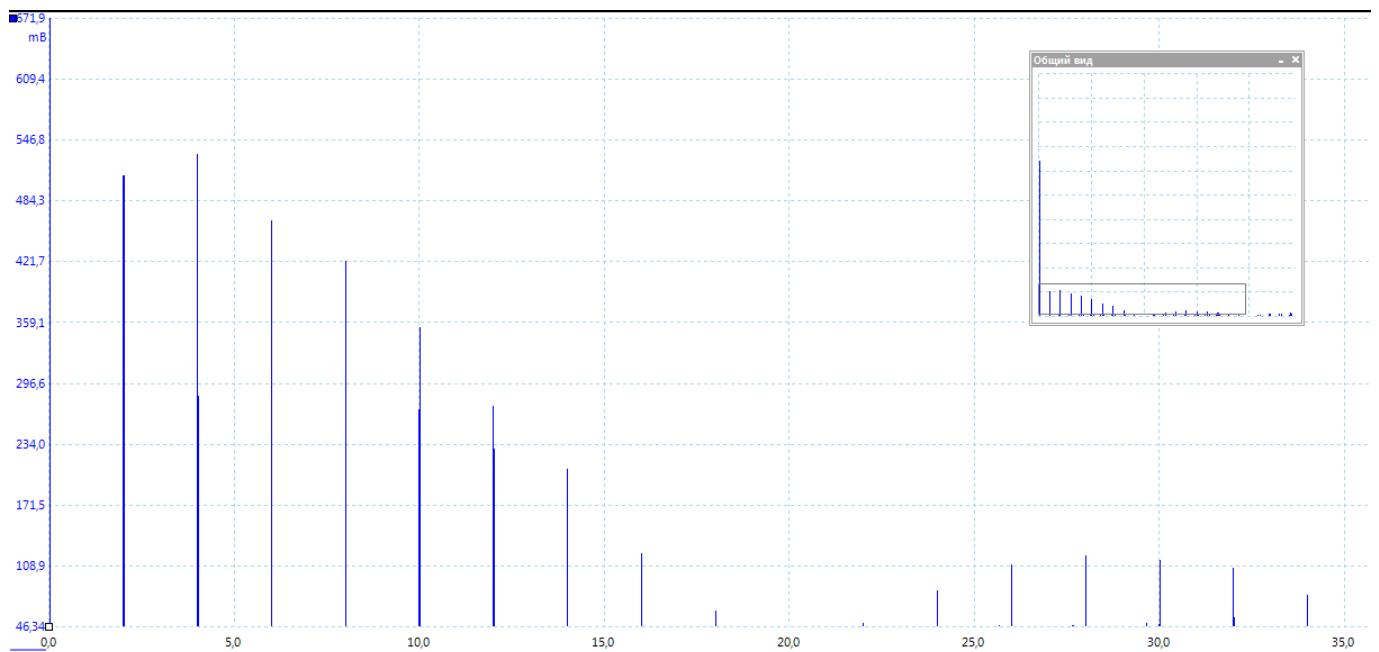


Рис. 5: Спектр прямоугольных импульсов  $T = 500$  мкс;  $\tau = 50$  мкс

Как и следовало ожидать изменились амплитуды частот и частоты стали встерчаться реже, характерная ширина спектра осталась прежней.

Далее, при  $f_{\text{повт}} = 1$  кГц снимем зависимость  $\Delta\nu$  от  $\tau$ . По результатам построим график зависимости  $\Delta\nu(1/\tau)$ . Данные представлены в таблице ниже.

Таблица 1: Данные измерений

$f_{\text{повт}} = 1 \text{ кГц}$										
$\tau, \text{ мкс}$	20	40	60	80	100	120	140	160	180	200
$\Delta\nu, \text{ кГц}$	50	25	17	12	10	8	7	6	5,5	5

**Б. Исследование спектра периодической последовательности цугов гармонических колебаний.**

Последовательность цугов длиной  $\tau$  и периодом  $T > \tau$  можно представить в виде

$$f(t) = f_0(t) \cos(\omega_0 t),$$

где  $f_0(t)$  – прямоугольный импульс длины  $\tau$ . Зная спектр прямоугольного импульса, можно изобразить спектр цуга. При домножении произвольной функции  $g_0(t)$  на  $e^{i\omega_0 t}$  спектр получившейся функции  $g(t) = g_0(t)e^{i\omega_0 t}$  будет сдвинутым на величину  $\omega_0$  вправо спектром функции  $g_0(t)$ . Поэтому спектр цуга может быть представлен следующим образом.

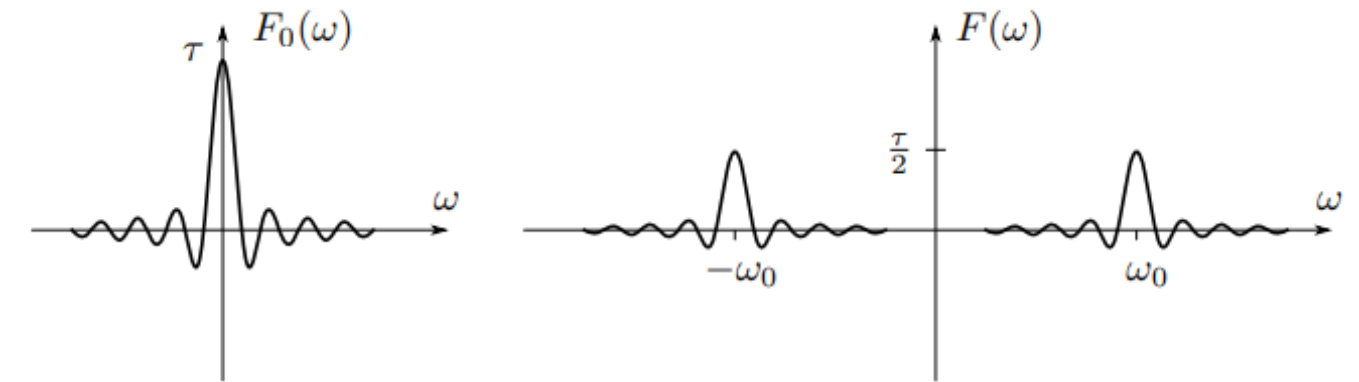


Рис. 6: Спектры а) прямоугольного импульса и б) синусоидального цуга

Сгенерируем цуги и посмотрим на спектр такого сигнала при  $T = 1 \text{ мс}$ ,  $\tau = 0,1 \text{ мс}$ ,  $\nu_0 = 50 \text{ кГц}$ , где  $\nu_0$  – частота синусоиды.

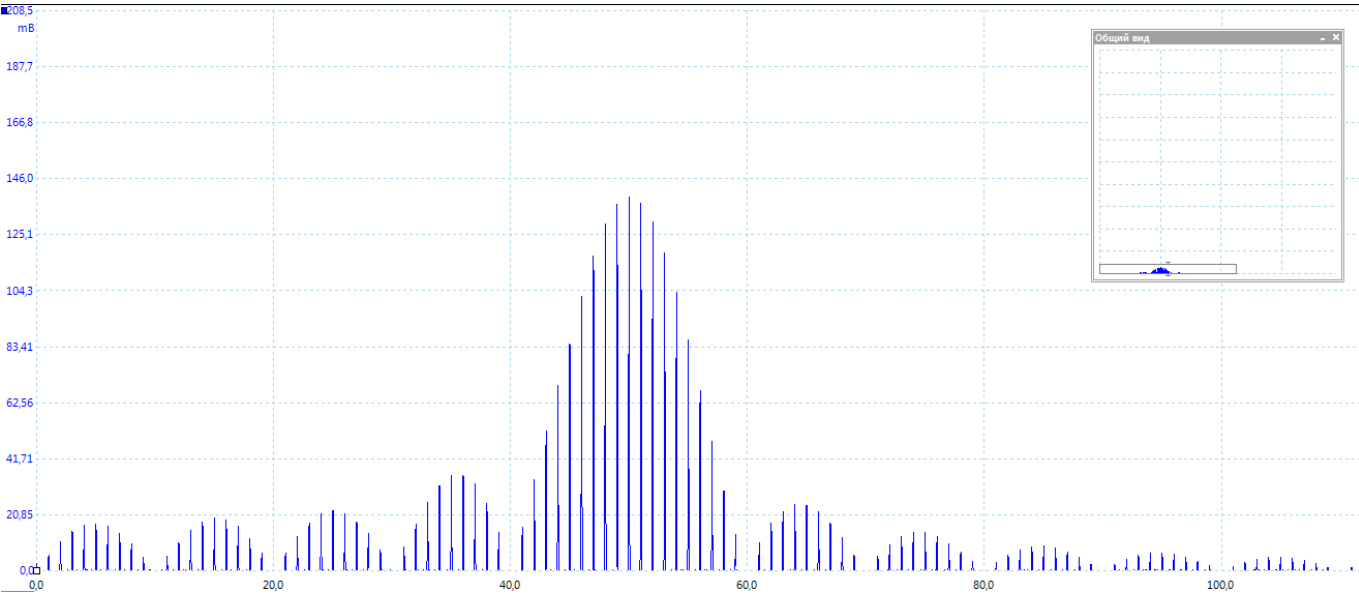


Рис. 7: Спектр прямоугольных импульсов  $T = 1 \text{ мс}$ ;  $\tau = 0,1 \text{ мс}$ ;  $\nu_0 = 50 \text{ кГц}$

Получили в точности смещённый на 50 кГц спектр прямоугольного импульса.  
Теперь увеличим период сигнала до 2 мс.

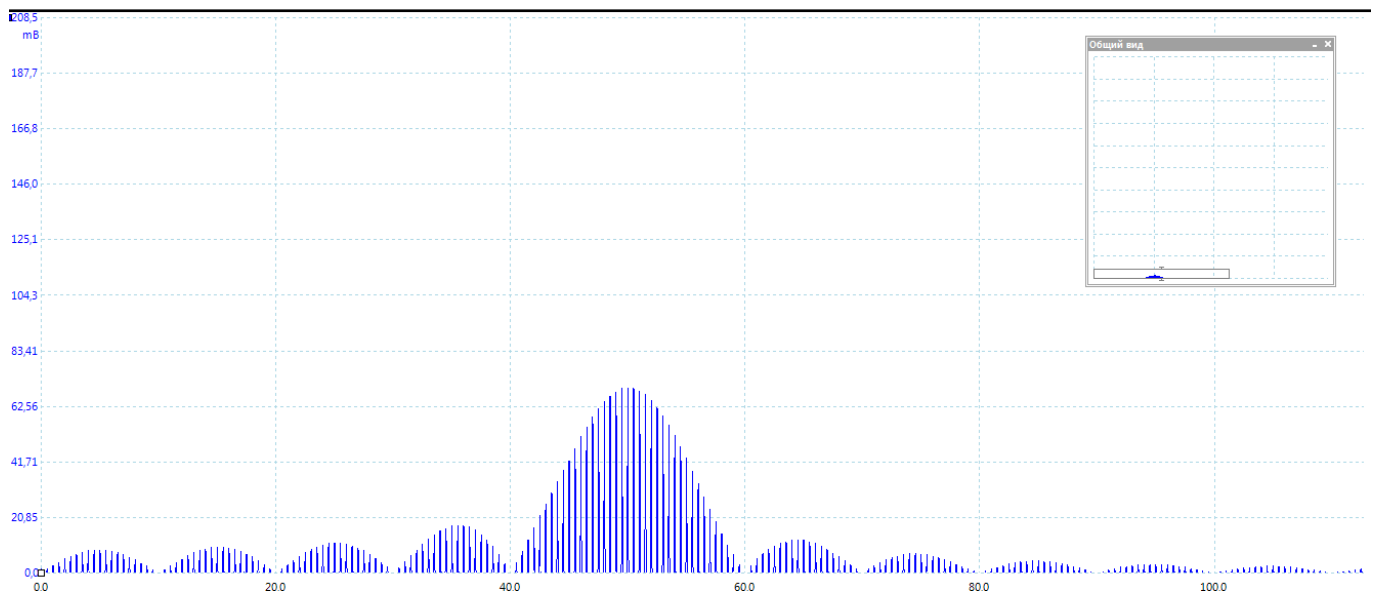


Рис. 8: Спектр прямоугольных импульсов  $T = 2$  мс;  $\tau = 0,1$  мс;  $\nu_0 = 50$  кГц

Частоты располагаются плотнее друг к другу чем в предыдущем случае.  
Увеличим частоту синусоиды в два раза.

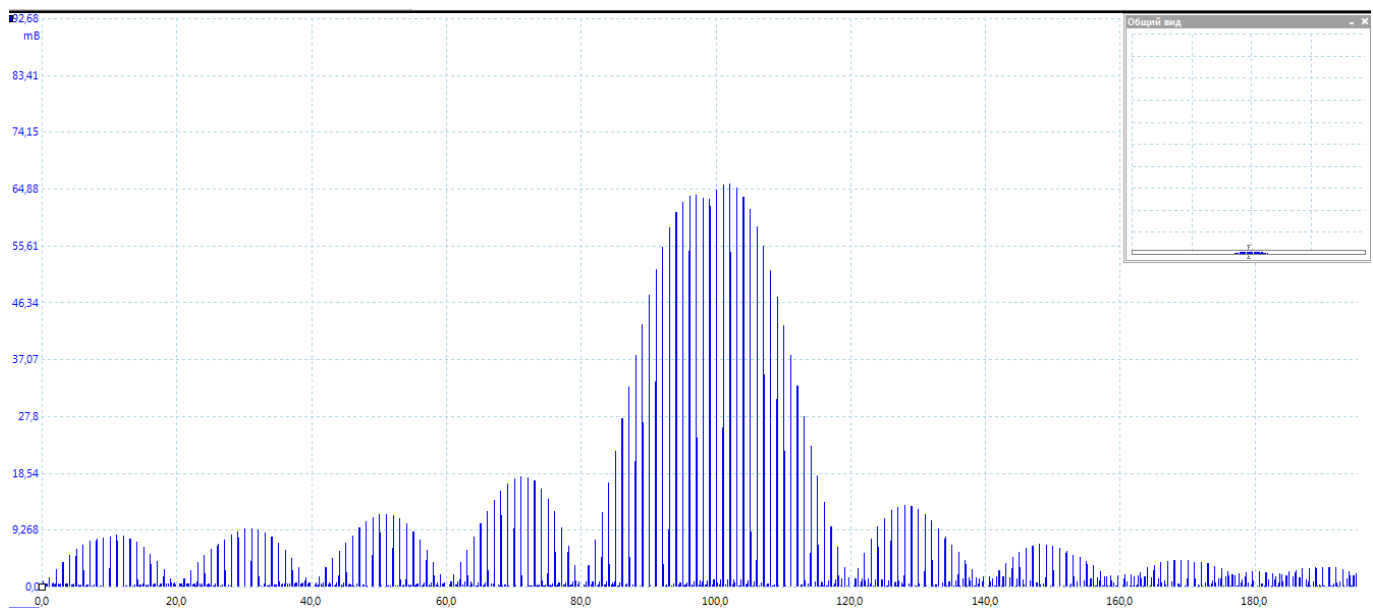


Рис. 9: Спектр прямоугольных импульсов  $T = 1$  мс;  $\tau = 0,05$  мс;  $\nu_0 = 100$  кГц

Центр спектра, как и предсказывает теория, сместился вправо на 50 кГц, характерная ширина спектра увеличилась вдвое.

Увеличим длительность цуга до  $\tau = 0,2$  мс. В результате видим сужение основного спектра.

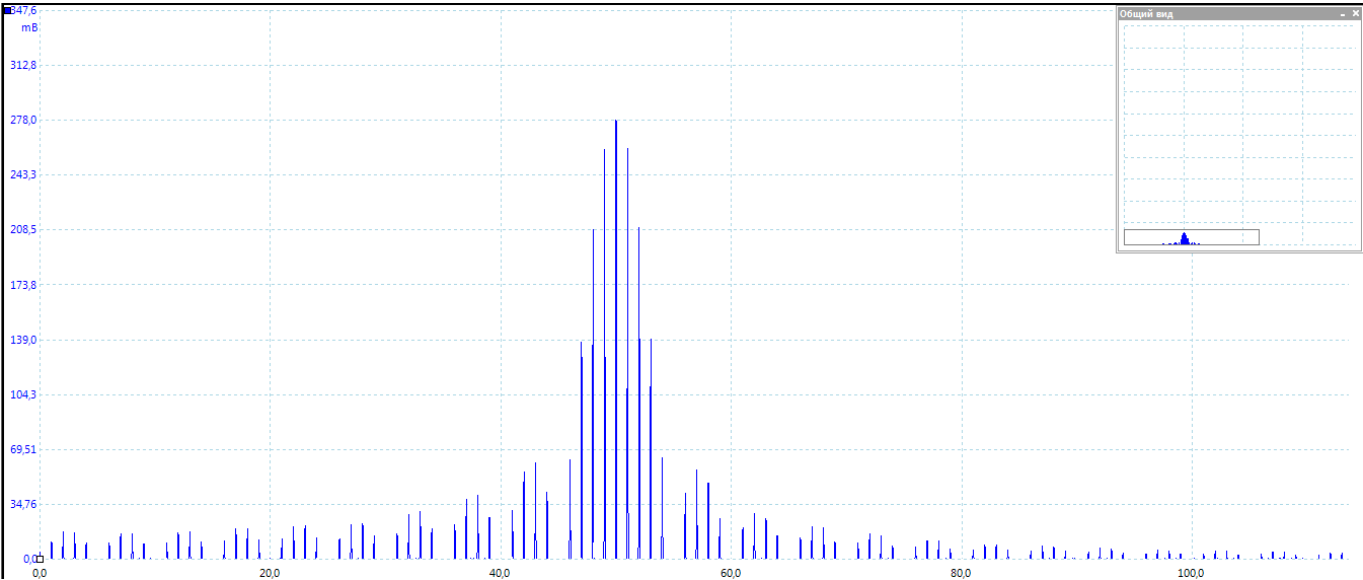


Рис. 10: Спектр прямоугольных импульсов  $T = 1$  мс;  $\tau = 0,2$  мс;  $\nu_0 = 50$  кГц

Увеличим частоту синусоиды вдвое, уменьшим длительность цуга вдвое.

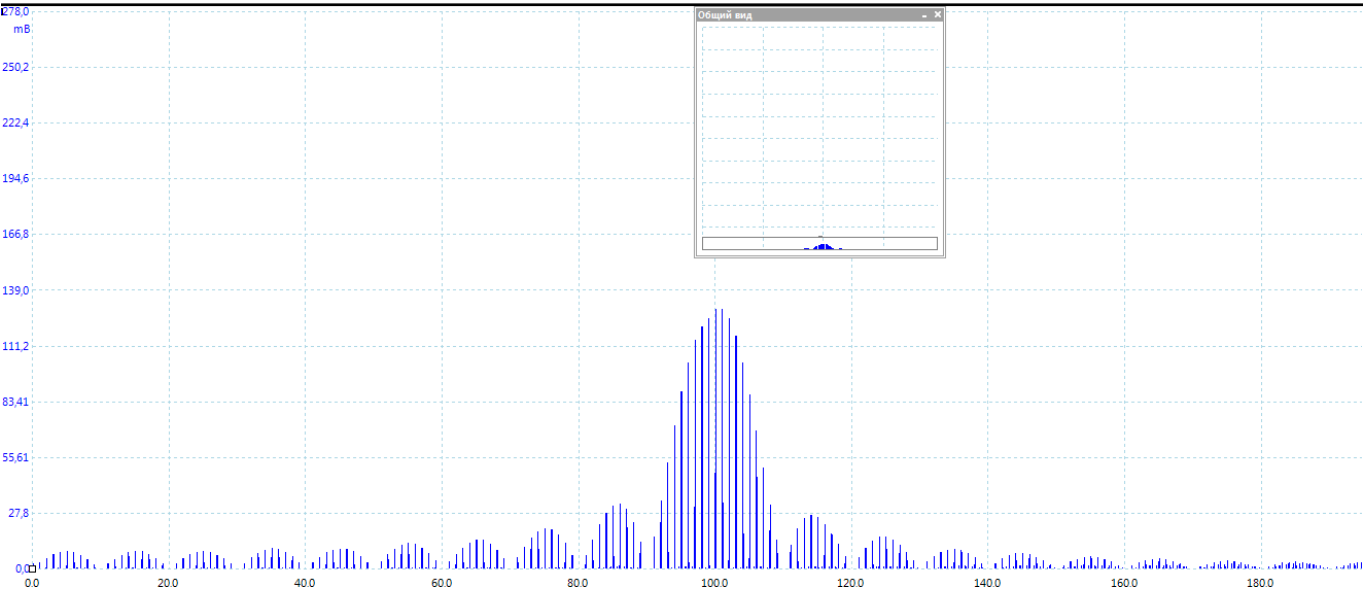


Рис. 11: Спектр прямоугольных импульсов  $T = 1$  мс;  $\tau = 0,1$  мс;  $\nu_0 = 100$  кГц

Теперь снимем зависимость  $\delta\nu$  – расстояния между соседними гармониками от частоты сигнала  $f_{\text{повт}} = 1/T$ . По результатам измерений построим график зависимости  $\delta\nu(1/T)$ . Данные представлены в таблице ниже.

Таблица 2: Данные измерений

$\nu = 50$ кГц, $N = 5$													
$1/f_{\text{повт}} = T$ , мс	0,2	0,4	0,6	0,8	1,0	1,5	2,0	2,5	3,0	3,5	4,0	4,5	5,0
$\delta\nu$ , кГц	9,95	2,55	1,681	1,25	1,0	0,67	0,5	0,4	0,34	0,28	0,24	0,22	0,2

**В. Исследование спектра гармонических сигналов, модулированных по амплитуде.**

Для передачи сигналов – музыки, речи, телевизионного изображения – необходимо нарушение синусоидальности. Отклонение от синусоидальности и выражает содержание передаваемой информации. Колебательный процесс, отличный от гармонического, называется *модулированным колебанием*.

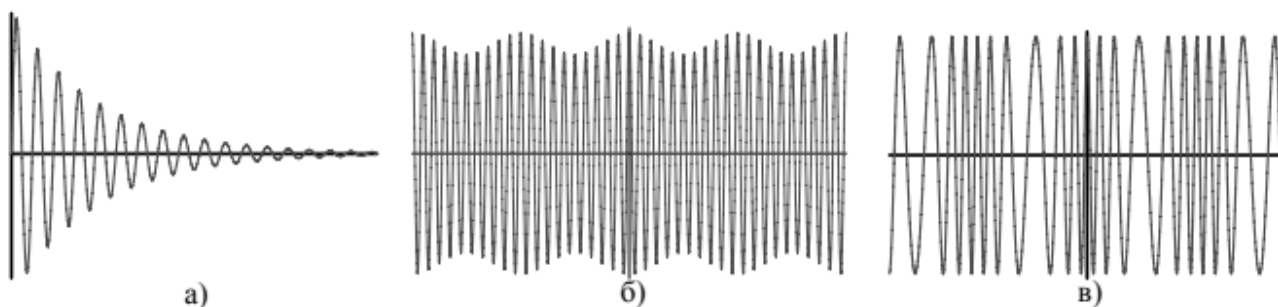


Рис. 12: Примеры модулированных колебаний: а, б) – по амплитуде, в) – по фазе

В общем случае модулированные колебания записываются в виде

$$f(t) = a(t) \cos(\omega_0 t + \varphi(t)).$$

Если  $\tau \gg T$ , где  $\tau$  – характерное время изменения амплитуды  $a(t)$  и фазы  $\varphi(t)$ , то такие колебания называются *квазигармоническими*. В этом случае медленно меняющиеся величины  $a(t)$  и  $\varphi(t)$  принято называть *амплитудой* и *начальной фазой* модулированного колебания соответственно.

Для описания модулированных колебаний используется следующая терминология: говорят, что функция  $a(t)$  описывает закон амплитудной модуляции, а функция  $\varphi(t)$  – закон фазовой модуляции. Именно в этих функциях и может быть заложена передаваемая информация.

Если  $\varphi(t) = \varphi_0 = \text{const}$ , то такое колебание называют *модулированным по амплитуде*. Простейший случай амплитудно-модулированного колебания – в котором амплитуда модуляции является гармонической функцией.

$$f(t) = a(t) \cos \omega_0 t, \quad \text{где} \quad a(t) = a_0(1 + m \cos \Omega t).$$

Константа  $0 < m \leq 1$  называется *глубиной модуляции*. Глубину модуляции можно выразить через максимальную  $a_{\max}$  и минимальную  $a_{\min}$  амплитуды сигнала:

$$m = \frac{a_{\max} - a_{\min}}{a_{\max} + a_{\min}}. \quad (1)$$

Преобразовав выражение для  $f(t)$ , получим соотношение

$$f(t) = a_0 \cos \omega_0 t + \frac{ma_0}{2} \cos(\omega_0 + \Omega)t + \frac{ma_0}{2} \cos(\omega_0 - \Omega)t.$$

Итак, амплитудно-модулированное по гармоническому закону колебание представляется в виде суммы трёх гармонических колебаний:

$$f_0(t) = a_0 \cos \omega_0 t, \quad f_1(t) = \frac{ma_0}{2} \cos(\omega_0 + \Omega)t, \quad f_2(t) = \frac{ma_0}{2} \cos(\omega_0 - \Omega)t.$$

Колебание  $f_0(t)$  называется *несущим колебанием*, а  $f_1(t)$  и  $f_2(t)$  – *боковыми гармониками*.

Проанализируем спектры амплитудно-модулированных сигналов при разных несущих и боковых частотах, а также различных глубинах модуляции.



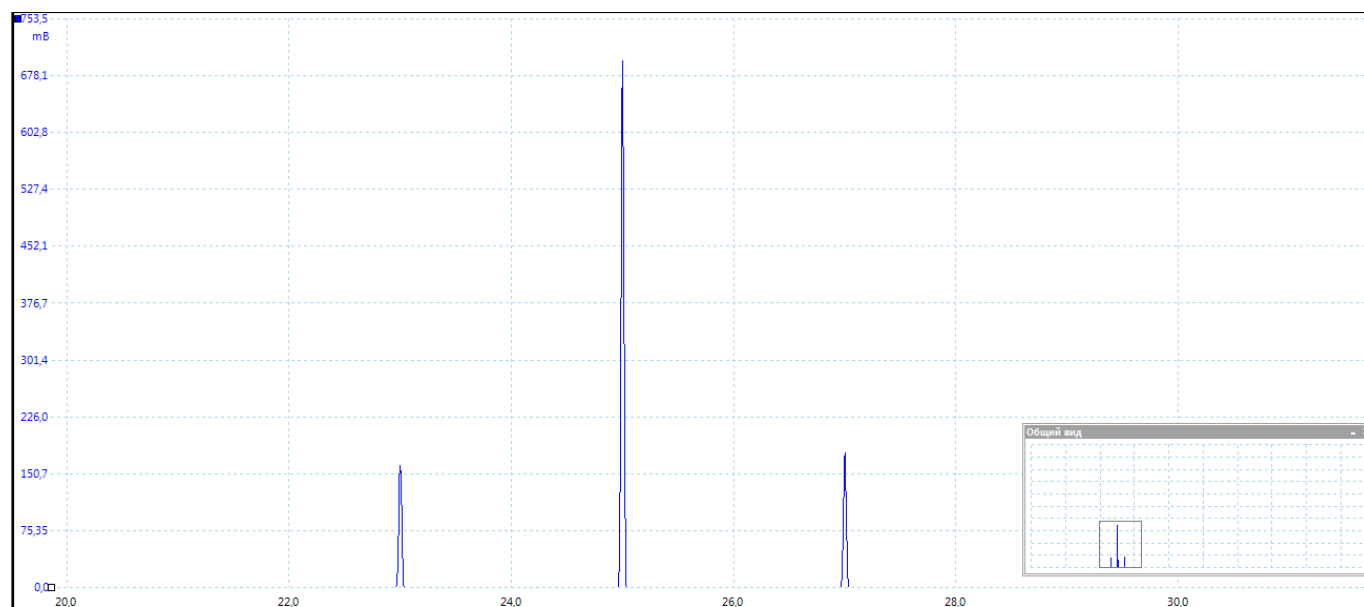


Рис. 13:  $f_{\text{нес}} = 25$  кГц,  $f_{\text{мод}} = 2$  кГц,  $m = 0,5$

Как и должно быть, видим несущую гармонику на частоте  $\nu = 25$  кГц и две боковых на частотах  $(\nu = 25 \pm 2)$  кГц.

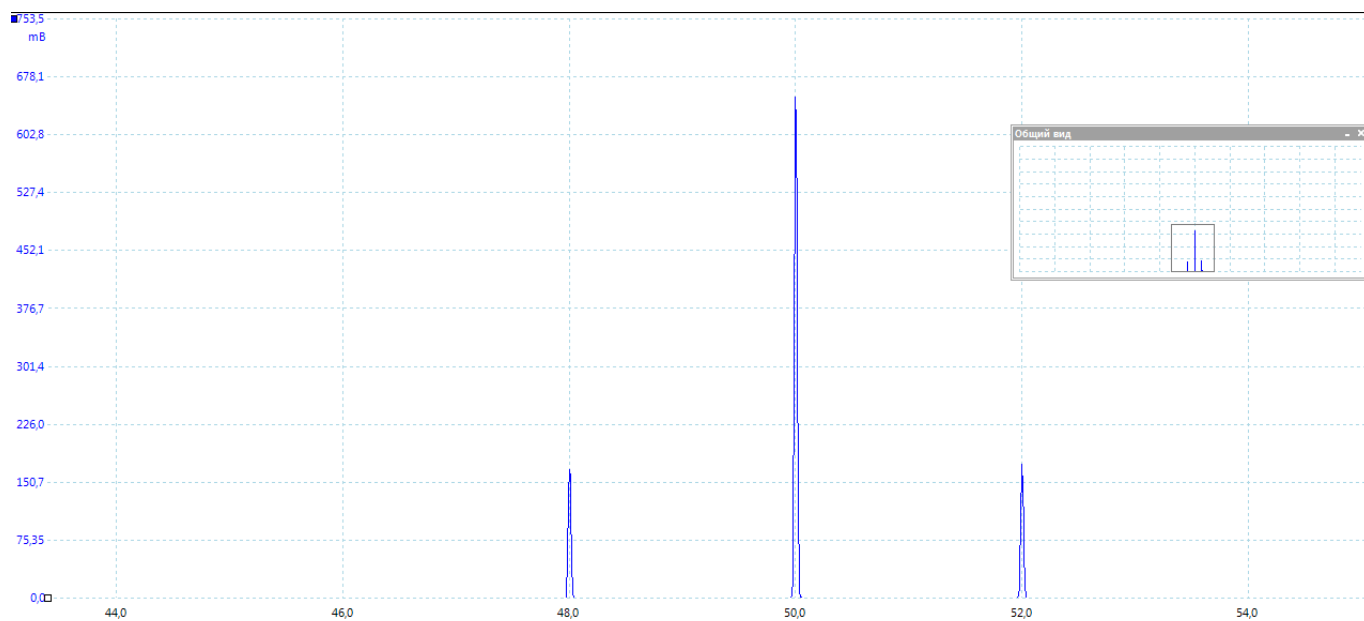


Рис. 14:  $f_{\text{нес}} = 50$  кГц,  $f_{\text{мод}} = 2$  кГц,  $m = 0,5$

Теперь несущая гармоника находится на частоте 50 кГц, боковые  $(50 \pm 2)$  кГц.

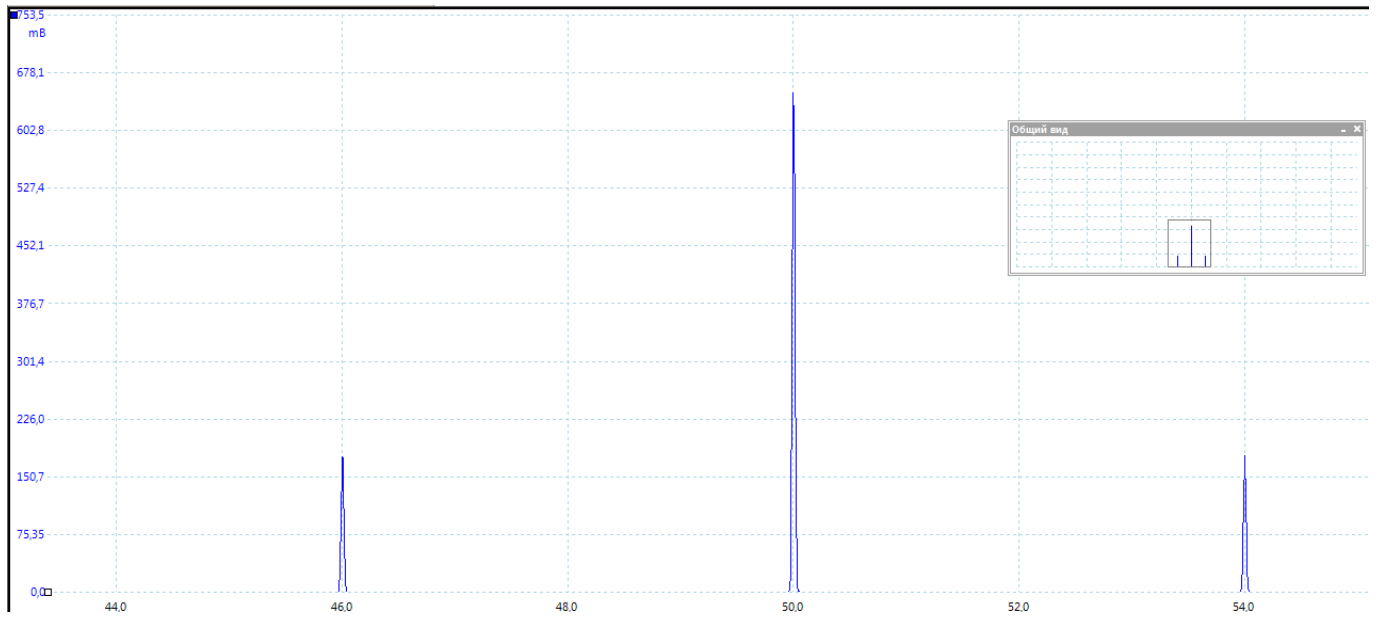


Рис. 15:  $f_{\text{нес}} = 50$  кГц,  $f_{\text{мод}} = 4$  кГц,  $m = 0,5$

В этом случае несущая гармоника на такой же частоте, что и в предыдущем случае, боковые  $(50 \pm 4)$  кГц.

Также, при  $m_{\text{теор}} = 0,5$ , запишем значения  $a_{\text{max}} = 1529$  ед.,  $a_{\text{min}} = 515,5$  ед., и проверим справедливость формулы (1).

$$m_{\text{эксп}} = 0,496 \approx m_{\text{теор}} = 0,5.$$

Получаем совпадение с хорошей точностью.

Далее снимем зависимость отношения амплитуд боковой и несущей гармоник от глубины модуляции.

Таблица 3: Данные измерений  $a_{\text{осн}}$  и  $a_{\text{бок}}$  при различных  $m$

$m$	0,1	0,2	0,3	0,4	0,5	0,6	0,7	0,8	0,9	1,0
$a_{\text{бок}}$ , ед.	32,76	65,52	99,71	133,9	168,1	202,3	236,5	267,8	303,4	334,1
$a_{\text{осн}}$ , ед.	658,1	662,3	669,0	659,5	660,9	658,1	659,5	659,5	659,5	655,2

По данным с таблицы построим график зависимости  $a_{\text{бок}}/a_{\text{осн}}$  от  $m$ , проанализируем совпадение с теорией.

### Г. Исследование спектра гармонических сигналов, модулированных по фазе.

Рассмотрим теперь простейший пример фазовой модуляции:

$$f(t) = a_0 \cos(\omega_0 t + \varphi(t)), \quad \text{где } \varphi(t) = m \cos \Omega t.$$

Константа  $m$  – *глубина модуляции фазы* – определяет диапазон изменения начальной фазы.

В общем случае закон модуляции приводит к довольно сложному спектру, поэтому рассмотрим случай  $m \ll 1$ . Тогда, после нескольких преобразований, получим

$$f(t) = a_0 \cos \omega_0 t + \frac{ma_0}{2} \cos \left( (\omega_0 + \Omega)t + \frac{\pi}{2} \right) + \frac{ma_0}{2} \cos \left( (\omega_0 - \Omega)t + \frac{\pi}{2} \right).$$

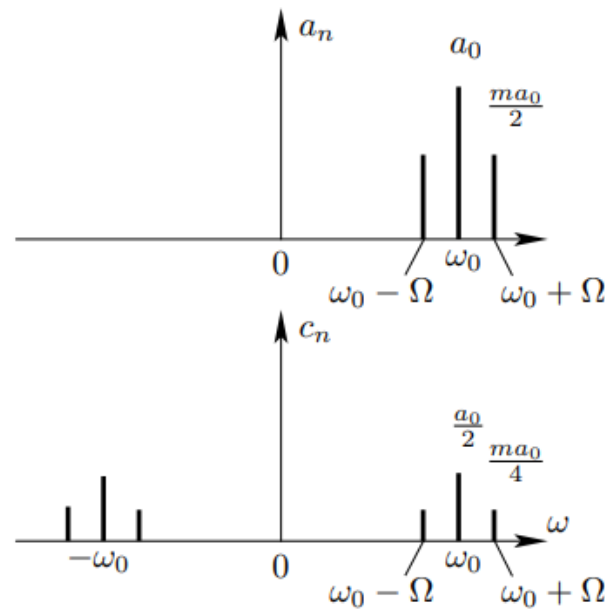


Рис. 16: Спектр колебаний, модулированных гармонически по фазе или амплитуде. Действительное (вверху) и комплексное (внизу) представления

Амплитудно-частотная характеристика обоих сигналов одинаковая, но сами сигналы сильно различаются. Всё дело в фазово-частотной характеристике, которая будет различна для этих сигналов. Из формул видно, что боковые гармоники отличаются фазовым сдвигом на  $\frac{\pi}{2}$ . Отсюда понятно, что чтобы восстановить сигнал мало знать амплитуды спектральных компонент, нужно ещё иметь информацию об их фазах.

Посмотрим на спектры сигналов, модулированных по фазе, с малой глубиной модуляции  $m \ll 1$ . Будем изменять величины  $\omega_0$ ,  $\Omega$  и  $\varphi$  и смотреть как меняется спектр.

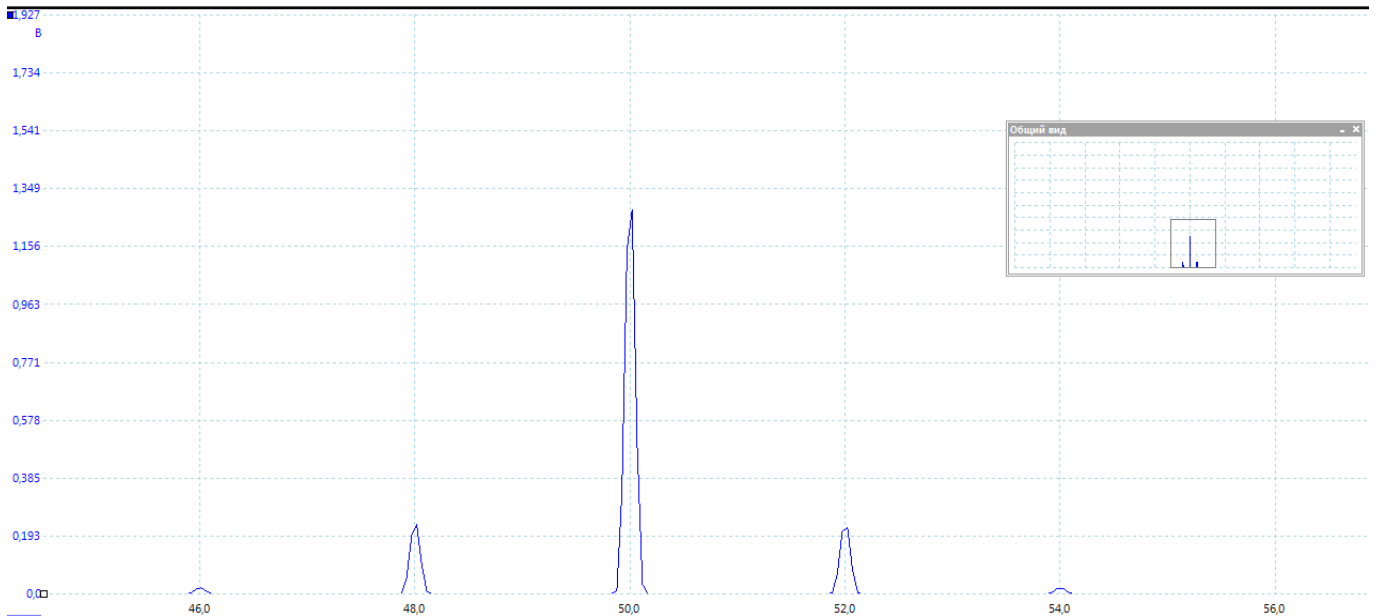


Рис. 17:  $f_{\text{нес}} = 50$  кГц,  $f_{\text{мод}} = 2$  кГц,  $\varphi = 20^\circ$

Видим, что спектр очень схож со спектром амплитудно-модулированного сигнала, но появляются дополнительные гармоники, которых в теории при  $m \rightarrow 0$  не должно быть.

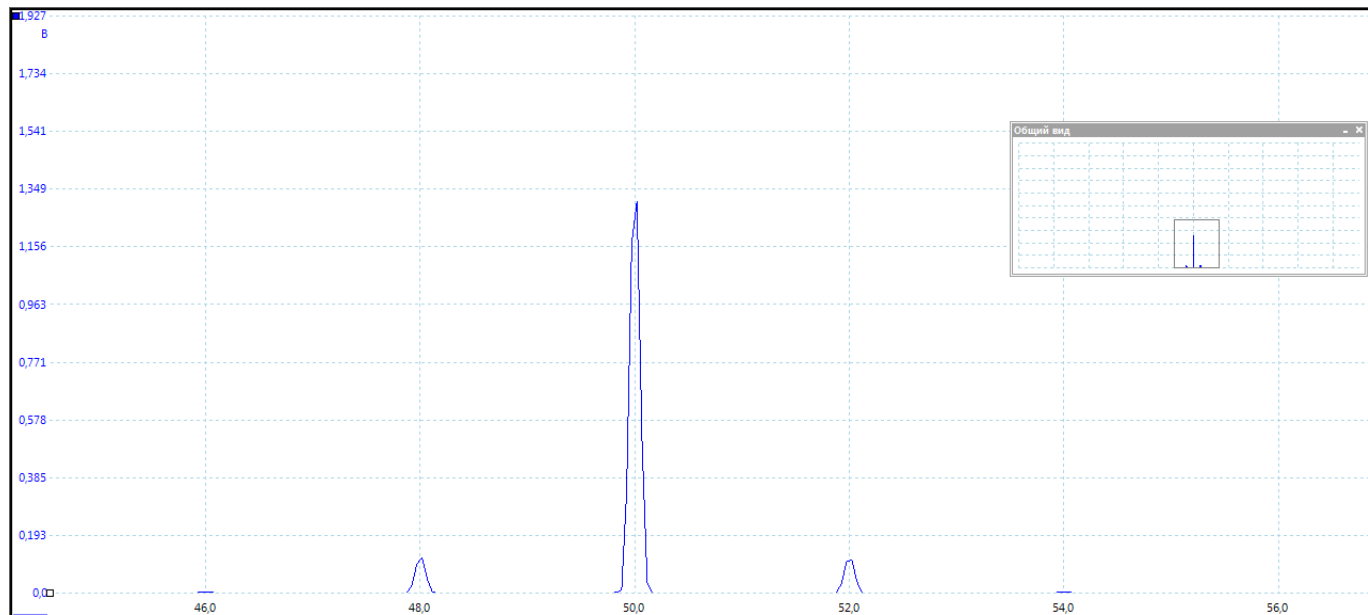


Рис. 18:  $f_{\text{нес}} = 50 \text{ кГц}$ ,  $f_{\text{мод}} = 2 \text{ кГц}$ ,  $\varphi = 10^\circ$

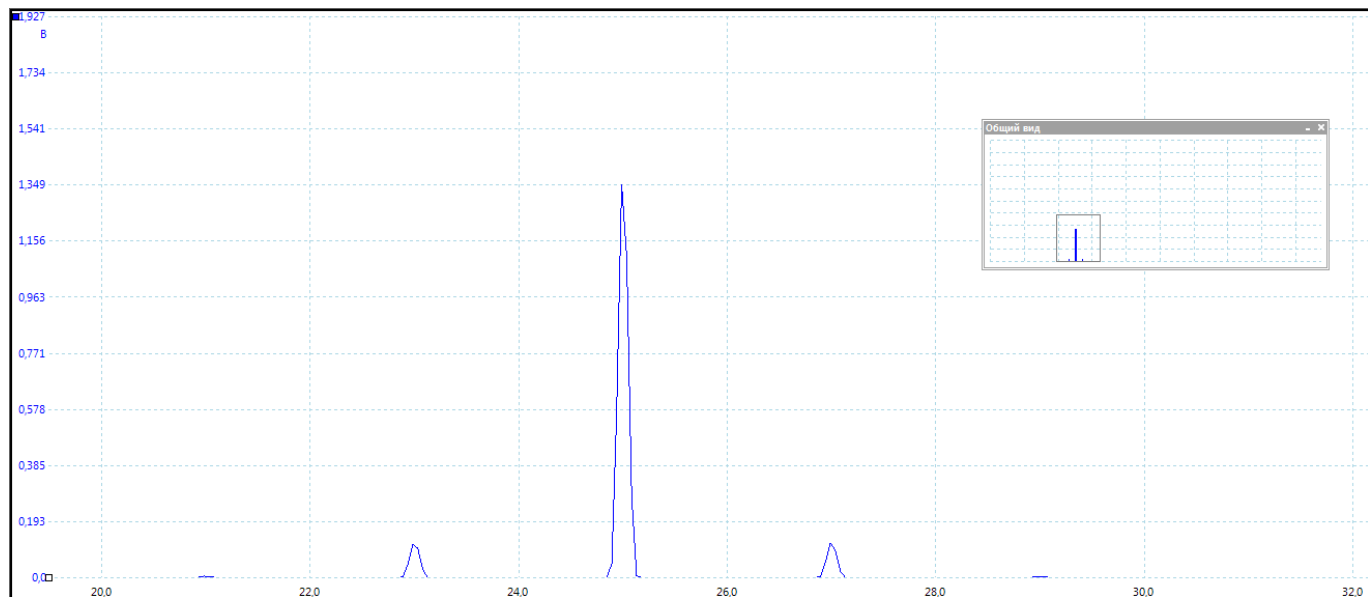
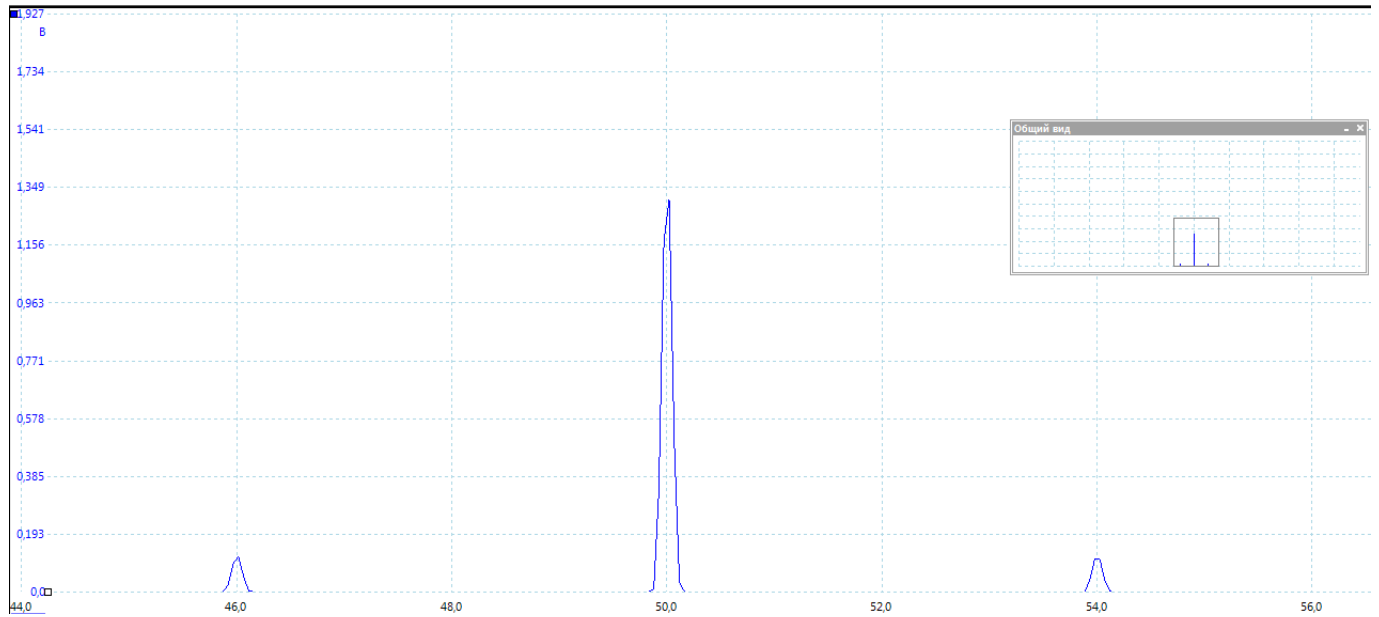
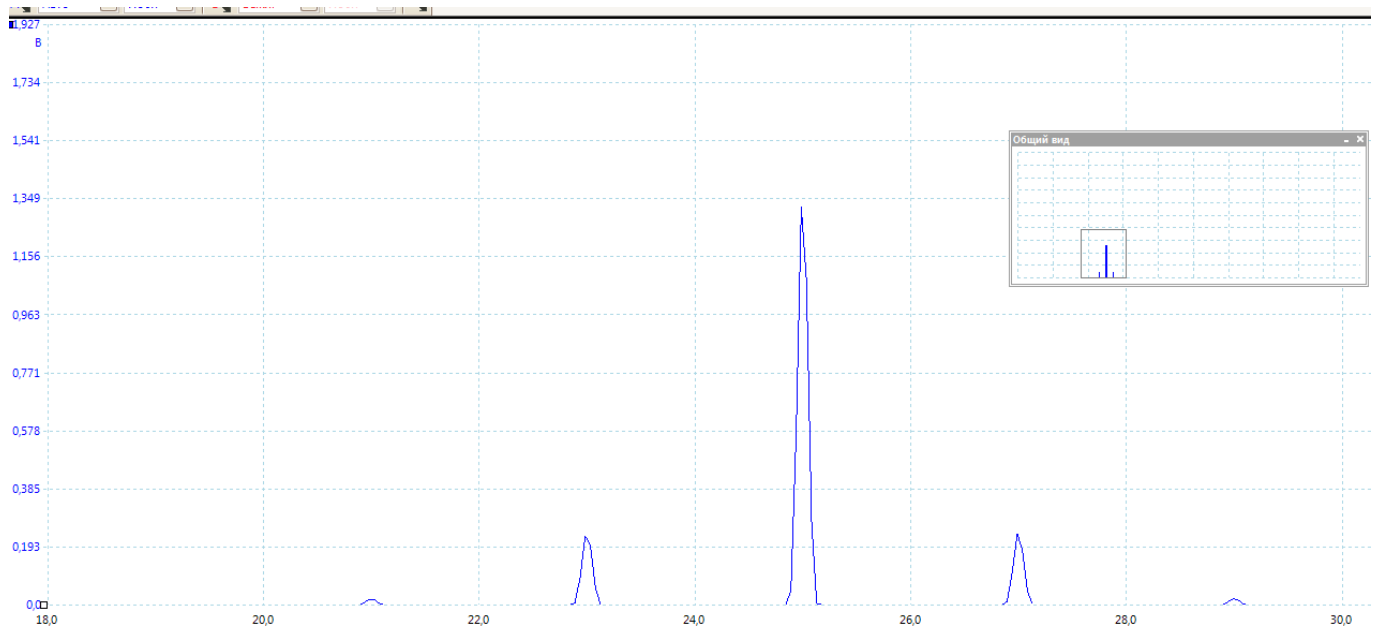
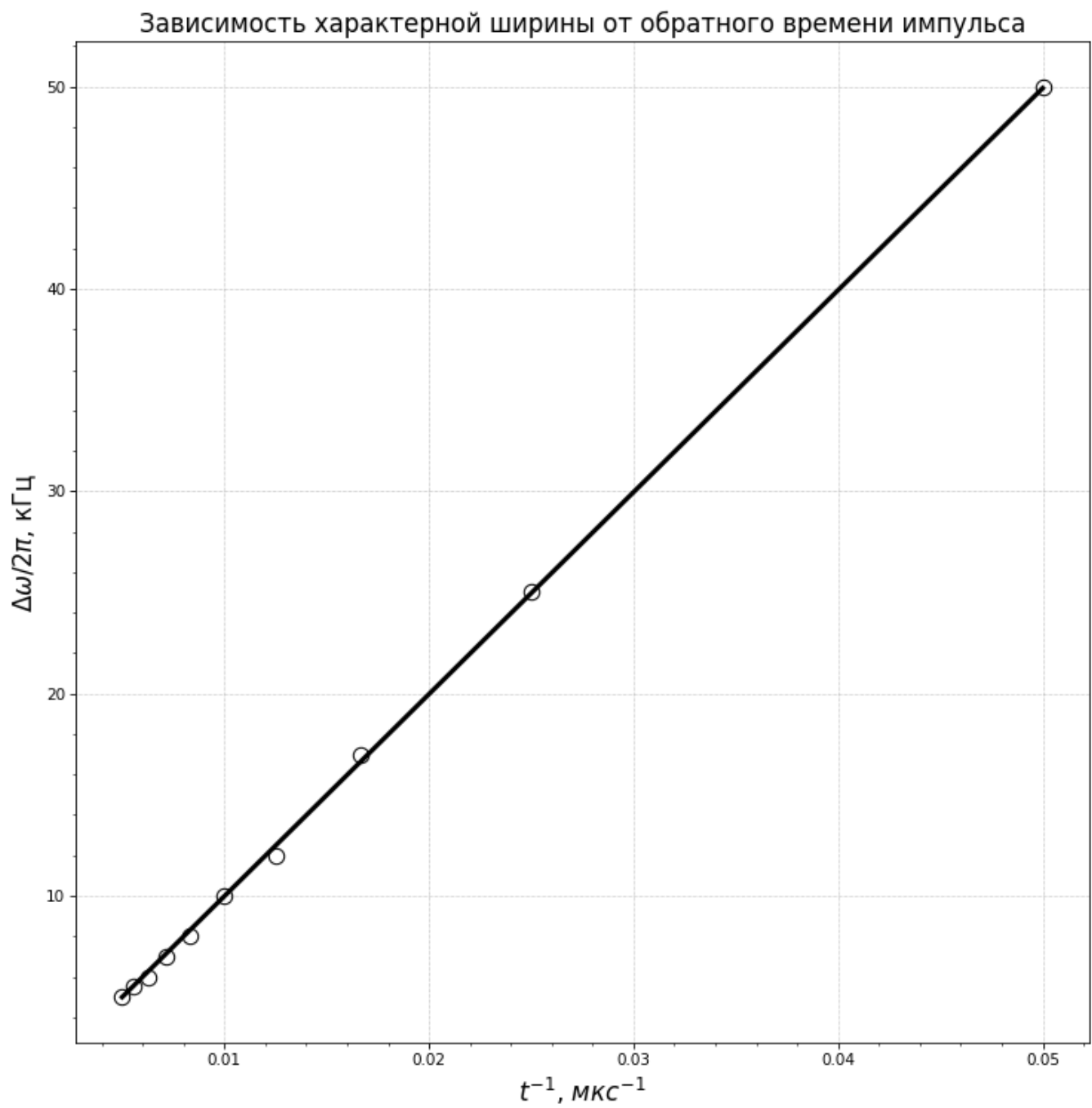


Рис. 19:  $f_{\text{нес}} = 25 \text{ кГц}$ ,  $f_{\text{мод}} = 2 \text{ кГц}$ ,  $\varphi = 10^\circ$

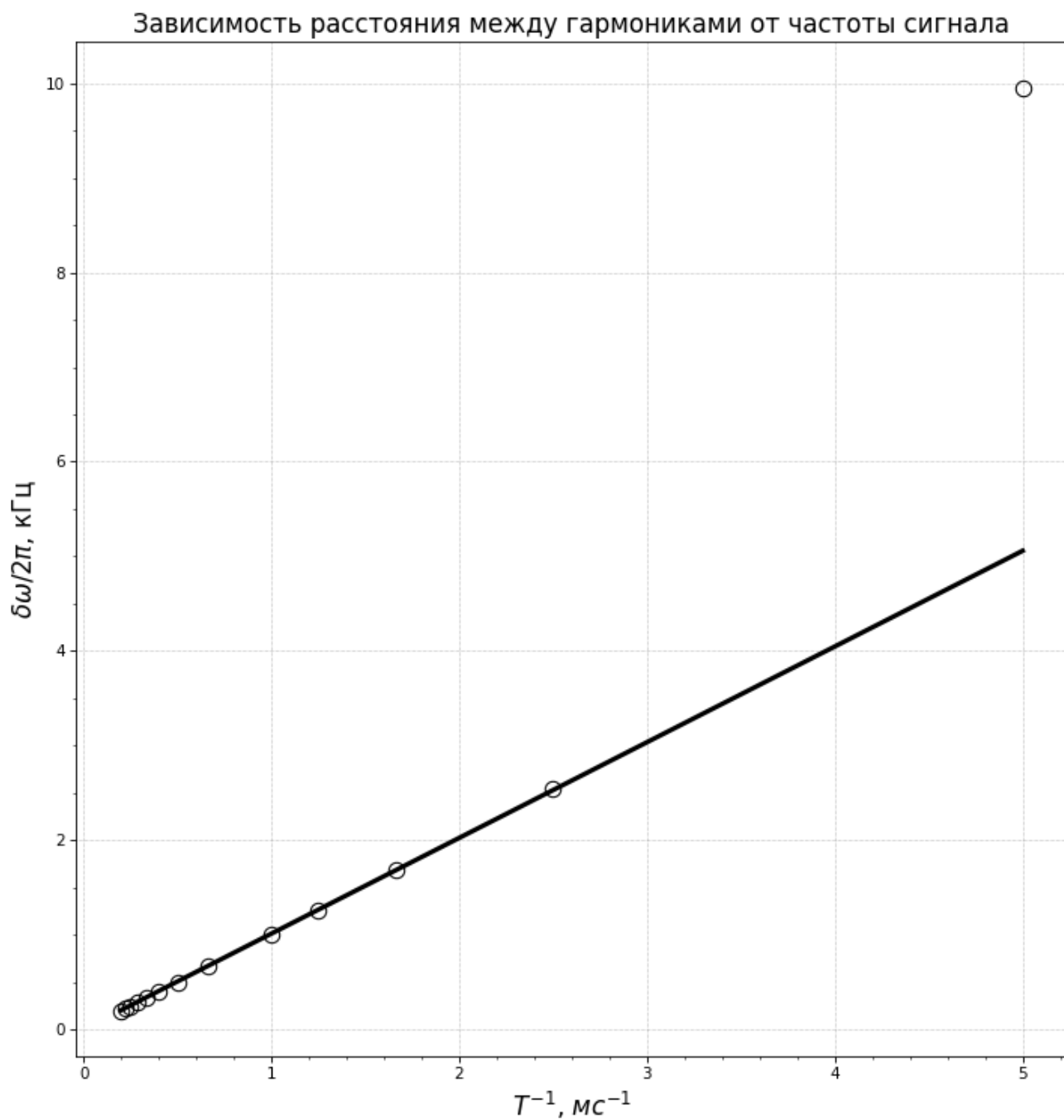
Рис. 20:  $f_{\text{нес}} = 50 \text{ кГц}$ ,  $f_{\text{мод}} = 4 \text{ кГц}$ ,  $\varphi = 10^\circ$ Рис. 21:  $f_{\text{нес}} = 25 \text{ кГц}$ ,  $f_{\text{мод}} = 2 \text{ кГц}$ ,  $\varphi = 20^\circ$ 

**Вывод:** В данной работе были исследованы спектры различных сигналов: периодической последовательности прямоугольных импульсов, периодической последовательности цугов гармонических колебаний, гармонических сигналов, модулированных по амплитуде и гармонических сигналов, модулированных по фазе. Результаты совпали с теоретической оценкой спектра каждого из сигналов. Также было проверено соотношение неопределённостей, результат с хорошей точностью совпал с теорией.



$$k = \frac{\Delta\omega \cdot \Delta t}{2\pi} = 0,998 \pm 0,004; \quad \varepsilon_k = 0,38\%$$

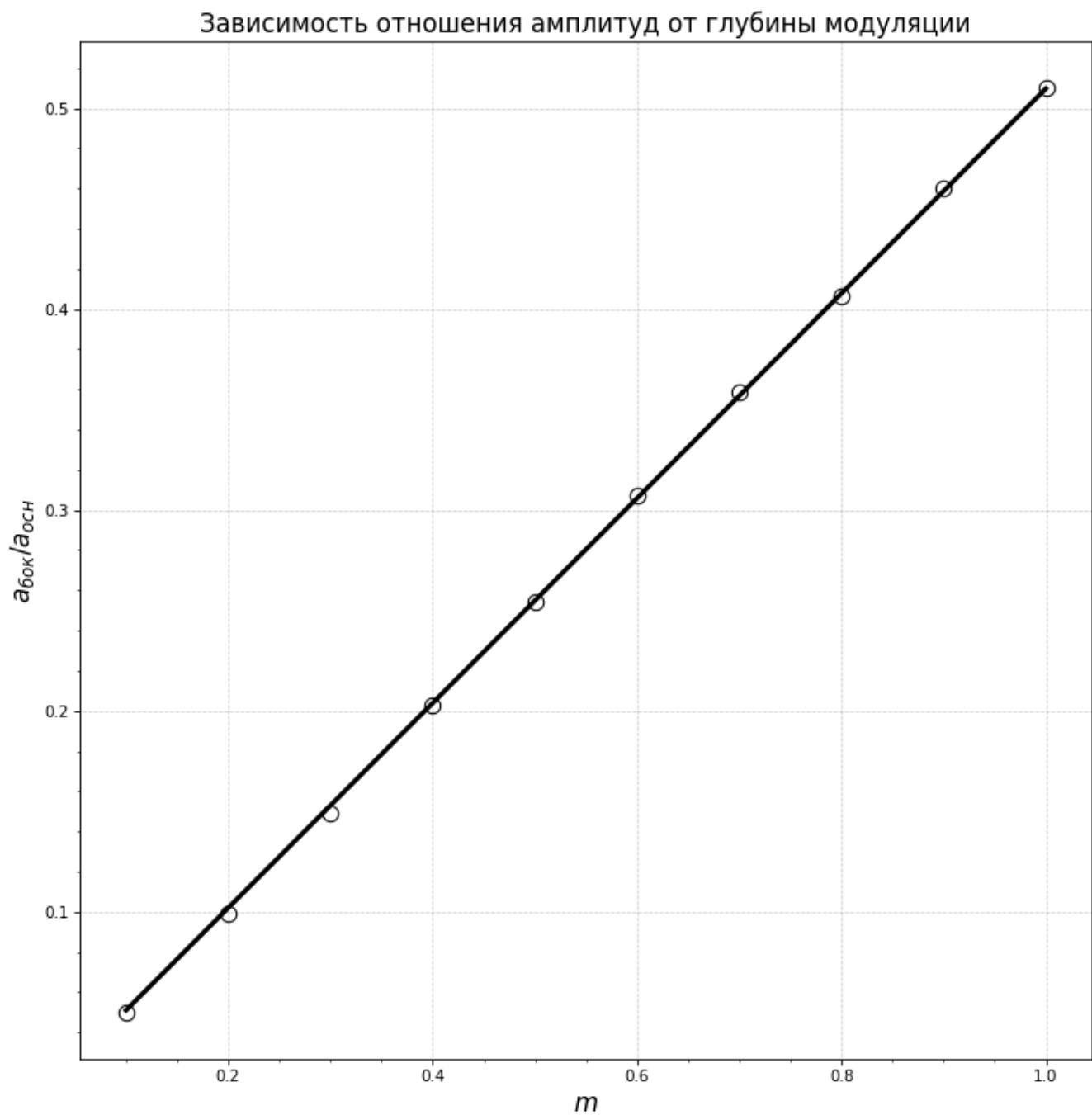
Следовательно получаем  $\Delta\omega \cdot \Delta t \approx 2\pi$ , что и подтверждает соотношение неопределённостей.



При аппроксимации были учтены все точки кроме самой первой ( $T = 0,2$  мс).

$$k = 1,012 \pm 0,003; \quad \varepsilon_k = 0,27\%$$

При этом теоретическая зависимость имеет вид  $\Delta\nu \cdot T = 1$ , что хорошо подтверждается экспериментом.



$$k = 0,510 \pm 0,001; \quad \varepsilon_k = 0,19\%$$

Теоретическая оценка даёт зависимость

$$\frac{a_{бок}}{a_{осн}} = \frac{1}{2}m,$$

что с хорошей точностью совпадает с полученной экспериментально.